



บทที่ 3

ตัวเร่งปฏิกิริยาริวิธพันธ์ (Heterogeneous Catalyst)

ตัวเร่งปฏิกิริยานับว่ามีบทบาทสำคัญต่อการพัฒนาอุตสาหกรรม เคมี เป็นอย่างมาก ซึ่งเห็นได้ชัดว่า หลังจากมีการนำเอาตัวเร่งปฏิกิริยามาใช้ มีอุตสาหกรรมเคมีเกิดขึ้นตามมามากมาย ทั้งนี้เพราะตัวเร่งปฏิกิริยา ช่วยให้เกิดภาวะเหมาะสมยิ่งขึ้นของปฏิกิริยา ลดภาวะการเสี่ยงอันตราย ลดต้นทุน ฯลฯ

ตัวเร่งปฏิกิริยาแบ่งเป็น 2 พวกใหญ่ๆ คือ

1. ตัวเร่งปฏิกิริยาเอกพันธ์ (Homogeneous Catalyst)
2. ตัวเร่งปฏิกิริยาริวิธพันธ์ (Heterogeneous Catalyst)

ความแตกต่างของตัวเร่งปฏิกิริยาทั้ง 2 ชนิดแสดงในตารางที่ 3.1

3.1 การนำตัวเร่งปฏิกิริยาไปใช้ในอุตสาหกรรม (15)

อาจกล่าวได้ว่า การนำตัวเร่งปฏิกิริยาไปใช้ในอุตสาหกรรมเคมี มีครั้งแรกในปี พ.ศ. 2289 เมื่อมีการเติม ไนตริกออกไซด์ (NO) ลงในปฏิกิริยาออกซิเดชันของซัลเฟอร์ไดออกไซด์ (SO_2) เป็นซัลเฟอร์ไตรออกไซด์ (SO_3) และที่สำคัญที่สุดคือ การนำแพลตินัม (Pt) เป็นตัวเร่งปฏิกิริยาริวิธพันธ์ ในปฏิกิริยาออกซิเดชันของซัลเฟอร์ไดออกไซด์ เป็นซัลเฟอร์ไตรออกไซด์ หลังจากนั้นก็มีการใช้ตัวเร่งปฏิกิริยาอย่างกว้างขวาง

ในรูปที่ 3.1 แสดงถึงลำดับขั้นของการพัฒนาตัวเร่งปฏิกิริยาในเชิงอุตสาหกรรม ส่วนตารางที่ 3.2 แสดงถึงการนำเอาตัวเร่งปฏิกิริยาไปใช้ในอุตสาหกรรม

ตารางที่ 3.1 ความแตกต่างระหว่างตัวเร่งปฏิกิริยาเอกพันธ์ และตัวเร่งปฏิกิริยาวิวิธพันธ์

Homogeneous Catalyst	Heterogeneous Catalyst
1. Catalyst and Reactants are in the same phase	1. Catalyst and Reactants are in different phase separated by a phase boundary
2. Catalyst is uniformly distributed throughout the system and the mobility of Catalyst is same as that of the other components	2. Catalyst is not uniformly distributed throughout the system and the mobility of catalyst is different from that of the other components
3. Catalyst acts by its mass and the rate of reaction is proportional to the concentration of Catalyst	3. Catalyst acts by its surface and the rate of reactions is proportional to the Catalyst surface area exposed for the reaction and the concentration on the catalyst surface of various adsorbed species

ในอุตสาหกรรม ส่วนใหญ่แล้วเป็นตัวเร่งปฏิกิริยาวิวิธพันธ์

3.2 ลักษณะพื้นฐานของกระบวนการตัวเร่งปฏิกิริยาวิวิธพันธ์ (Basic feature of Heterogeneous Catalytic Process) (16,17)

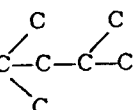
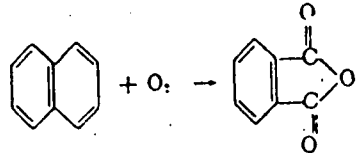
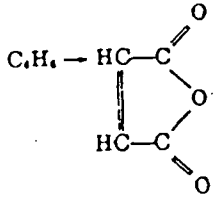
ขั้นตอนของการเกิดปฏิกิริยาที่มีตัวเร่งปฏิกิริยาวิวิธพันธ์มาเกี่ยวข้อง แบ่งออกเป็น 7

ขั้นตอนคือ

	1725	1750	1775	1800	1825	1850	1875	1900	1925	1950	1975
Inorganic	SO ₂ NO					SO ₃ Pt	Cl ₂ CuCl ₂		HNO ₃ Pt NH ₃ Fe	H ₂ Ni H ₂ O ₂ Pd	
Organic								Fat hydrogenation Ni	CH ₃ OH ZnO — Cr ₂ O ₃ Phthalic acid Pt	C ₄ H ₆ Fe ₂ O ₃ — Cr ₂ O ₃ — Al ₂ O ₃ olefins + CO → aldehydes → alcohols (oxo process) Polymerization	CH ₃ CHO PdCl ₂ CH ₂ =CHCN (acrylonitrile) — Bi — Mo — PO ₄ Aromatics by hydrodealkylation Cr ₂ O ₃ — Al ₂ O ₃
Fuel								coal + H ₂ → liquid hydrocarbons Fe ₂ O ₃ , MoS ₂	CO + H ₂ → liquid hydrocarbons Co — ThO ₂ — SiO ₂ Cracking SiO ₂ — Al ₂ O ₃ Polymerization H ₃ PO ₄ Hydroforming MoO ₃ — Al ₂ O ₃ , Pt — Al ₂ O ₃	Alkylation H ₂ SO ₄ , HF Hydrocracking Fuel cells? Catalytic mufflers?	Na Peroxide TiCl ₃ Polyurethanes AIR ₃ Li

รูปที่ 3.1 ลำดับขั้นการพัฒนาตัวเร่งปฏิกิริยาในเชิงอุตสาหกรรม (15)

ตารางที่ 3.2 กระบวนการที่ใช้ตัวเร่งปฏิกิริยาในอุตสาหกรรม (15)

Process	Reaction	Catalyst
	<i>Inorganic</i>	
ammonia synthesis	$N_2 + H_2 \rightarrow NH_3$	Fe-Al ₂ O ₃ -K ₂ O
chlorine	$HCl + O_2 \rightarrow H_2O + Cl_2$	CuCl ₂
hydrogen	$CH_4 + H_2O \rightarrow CO + H_2$ $CO + H_2O \rightarrow CO_2 + H_2$ $CO + H_2 \rightarrow CH_4 + H_2O$	Ni-Al ₂ O ₃ Fe, Cr, O Ni
hydrogen peroxide	Et anthraquinone $\xrightarrow{H_2}$ Et anthrahydroquinone $\xrightarrow{O_2}$ $H_2O_2 + Et anthraquinone$	Pd
sulfuric acid	$SO_2 + O_2 \rightarrow SO_3$	Pt, V ₂ O ₅ , N oxides
	<i>Petroleum refining</i>	
alkylation	a. iso-C ₄ H ₁₀ + C ₂ H ₄ \rightarrow 	AlCl ₃ , H ₂ SO ₄ , HF
cracking	b. C ₈ H ₁₈ + C ₂ H ₄ \rightarrow C ₆ H ₁₄ C ₂ H ₆ a. catalytic b. hydrocracking	AlCl ₃ , SiO ₂ -Al ₂ O ₃ SiO ₂ -Al ₂ O ₃
cyclization	C ₇ H ₁₄ \rightarrow C ₆ H ₁₂ CH ₂ + H ₂	Cr ₂ O ₃
desulfurization	thiophene \rightarrow butane + H ₂ S	CoO-MoO ₃ -Al ₂ O ₃
isomerization	n-C ₇ H ₁₆ \rightarrow iso-C ₇ H ₁₆	H ₂ SO ₄ , Pt-Al ₂ O ₃
polymerization	butene \rightarrow octene	H ₂ PO ₄
reforming	naphthenes \rightarrow aromatics + H ₂ , etc	MoO ₃ -Al ₂ O ₃ , Pt-Al ₂ O ₃ -halide
synthesis (Fischer-Tropsch)	CO + H ₂ \rightarrow C _n H _{2n+2} + H ₂ O	Co-ThO ₂ -MgO kieselguhr
coal to gasoline	C _n H _m + x H ₂ \rightarrow C _n H _{2n+2}	Sn or Fe cpds, WS ₂ or MoS ₂
fuel cell	H ₂ (from petroleum-derived CH ₄) + O ₂ \rightarrow H ₂ O + electricity	Pt-C, Ni
	<i>Organic chemicals</i>	
hydrogenation	olein + H ₂ \rightarrow stearin	Ni
fat	CO + H ₂ \rightarrow CH ₃ OH	ZnO, Cr ₂ O ₃
methanol	C ₆ H ₅ NO ₂ + H ₂ \rightarrow C ₆ H ₅ NH ₂ + H ₂ O	Cu-Cr ₂ O ₃
aniline	C ₆ H ₅ O + H ₂ \rightarrow C ₆ H ₅ OH	Ni-SiO ₂
butanol	$OCH=CH-CH=CH \rightarrow OCH_2CH_2CH_2CH_2$	(PdO)
tetrahydrofuran	olefins \rightarrow paraffins	W, Ni-sulfide, Co-Mo-Al ₂ O ₃
hydrocarbons	C ₆ H ₆ + H ₂ \rightarrow C ₆ H ₁₂	Ni, PtO ₂
cyclohexane		
dehydrogenation	C ₄ H ₁₀ \leftrightarrow C ₄ H ₈	Cr ₂ O ₃ -Al ₂ O ₃
butene	C ₄ H ₈ \rightarrow C ₄ H ₆	Fe ₂ O ₃ , Cu-Ni-PO ₄
butadiene	C ₄ H ₁₀ \rightarrow C ₄ H ₆	Cr ₂ O ₃ -Al ₂ O ₃
styrene	C ₆ H ₅ C ₂ H ₅ \rightarrow C ₆ H ₅ C ₂ H ₄	Ca, Ni, phosphate
benzene	C ₆ H ₁₂ \rightarrow C ₆ H ₆	Pt-Al ₂ O ₃
oxidation		V ₂ O ₅
phthalic acid		
maleic anhydride	C ₄ H ₄ \rightarrow 	V ₂ O ₅

Process	Reaction	Catalyst
formaldehyde	$\text{CH}_2\text{OH} \rightarrow \text{CH}_2\text{O}$	Pt; Ag; Cu; Fe, Mo oxides
ethylene oxide	$\text{CH}_2 \rightarrow \text{HCHO}$	
acrylonitrile	$\text{C}_2\text{H}_4 \rightarrow \text{C}_2\text{H}_3\text{O}$	Ag
acetaldehyde	$\text{C}_2\text{H}_4 + \text{NH}_3 \rightarrow \text{CH}_2=\text{CHCN}$	Bi-Mo-PO ₄
acetic acid	$\text{C}_2\text{H}_4 \rightarrow \text{CH}_3\text{CHO}$	PdCl ₂ -CuCl ₂
polymerization	$\text{C}_2\text{H}_4 \rightarrow \text{CH}_3\text{COOH}$	HBr
synthetic rubber, polystyrene	$\text{C}_6\text{H}_6 + \text{C}_6\text{H}_5\text{C}_2\text{H}_5 \rightarrow \text{rubber}$	peroxides, Na, Li
polypropylene	$n\text{-C}_3\text{H}_8 \rightarrow (\text{C}_3\text{H}_6)_n$	Al(C ₂ H ₅) ₃ -TiCl ₄
diisobutylene	$\text{iso-C}_4\text{H}_{10} \rightarrow \text{iso-C}_4\text{H}_8$	H ₂ SO ₄ , H ₃ PO ₄ -SiO ₂ , Cu pyrophosphate
polyurethane	$\begin{array}{c} \text{CH}_3 \\ \\ \text{C}_6\text{H}_4 \\ \\ \text{NCO} \end{array} \text{-NCO} + \text{HOROH} \rightarrow$ $\left[\begin{array}{c} \text{O} \\ \\ \text{C} \end{array} \text{-N} \begin{array}{c} \text{H} \\ \end{array} \text{-C}_6\text{H}_4 \text{-N} \begin{array}{c} \text{H} \\ \end{array} \text{-C} \begin{array}{c} \text{O} \\ \end{array} \text{-O-R-O} \right]_n$	triethylenediamine plus stannous octoate
hydration and dehydration	$\text{C}_2\text{H}_4 + \text{H}_2\text{O} \rightarrow \text{C}_2\text{H}_5\text{OH}$	H ₃ PO ₄ , H ₃ BO ₃ , Al ₂ O ₃ , metal salts and H ₂ SO ₄
alcohols by hydration	$\text{C}_2\text{H}_4 + \text{H}_2\text{O} \rightarrow \text{CH}_3\text{CHO}$	H ₂ SO ₄ + Hg salts
acetaldehyde by hydration	$\text{C}_2\text{H}_5\text{OH} \rightarrow \text{C}_2\text{H}_4 + \text{H}_2\text{O}$	Al ₂ O ₃ , ThO ₂
alcohol dehydration	$\text{C}_2\text{H}_5\text{OH} \rightarrow \text{C}_2\text{H}_4 + \text{H}_2\text{O} + \text{H}_2$	Al ₂ O ₃ + ZnO
butadiene by dehydration and dehydrogenation		
hydrolysis and esterification		
saponification of fats	$\begin{array}{c} \text{CH}_2\text{OCC}_{17}\text{H}_{35} \\ \\ \text{CHOCC}_{17}\text{H}_{35} \\ \\ \text{CH}_2\text{OCC}_{17}\text{H}_{35} \end{array} + \text{H}_2\text{O} \rightarrow \begin{array}{c} \text{CH}_2\text{OH} \\ \\ \text{CHOH} \\ \\ \text{CH}_2\text{OH} \end{array} + \text{C}_{17}\text{H}_{35}\text{COOH}$	sulfonic acid
esterification	$\text{RCOOH} + \text{R}'\text{OH} \rightarrow \text{RCOOR}' + \text{H}_2\text{O}$	different acids
CO reactions	$\text{CO} + \text{H}_2 \rightarrow \text{CH}_4$	Ni-Al ₂ O ₃
methanation	$\text{CO} + \text{H}_2\text{O} \rightarrow \text{CO}_2 + \text{H}_2$	Ni; Co
shift	$\text{CO} + \text{O}_2 \rightarrow \text{CO}_2$	Cu
oxidation	$\text{CO} + \text{H}_2 \rightarrow \text{C}_n\text{H}_{2n-2} + \text{H}_2\text{O}$	Co-ThO ₂ -SiO ₂
Fischer-Tropsch	$\text{RCH}=\text{CH}_2 + \text{CO} + \text{H}_2 \rightarrow \text{RCH}_2-\text{CHO}$	HCo(CO) ₂
oxo	$\text{CO} + \text{H}_2 \rightarrow \text{CH}_3\text{OH}$	Zn, Cr, Mn oxides
methanol synthesis		
miscellaneous		
production of hydrocyanic acid	$\text{CO} + \text{NH}_3 \rightarrow \text{HCN} + \text{H}_2\text{O}$	charcoal + Na ₂ O
dehydrogenation of alcohols to aldehydes and ketones	$\text{RCH}_2\text{OH} \rightarrow \text{RCHO} + \text{H}_2$	Zn, Cu
dimerization of acetylene	$\text{RCHOHR}' \rightarrow \text{RCOR}' + \text{H}_2$	
synthesis of phenol (Dow process)	$2 \text{C}_2\text{H}_2 \rightarrow \text{CH}\equiv\text{CCH}=\text{CH}_2$	CuCl
vapor-phase hydrolysis process (Raschig process)	$\text{C}_6\text{H}_5\text{Cl} + 2 \text{NaOH} \rightarrow \text{C}_6\text{H}_5\text{ONa} + \text{NaCl} + \text{H}_2\text{O}$	Cu and Na oleate
reductive amination	$\text{C}_6\text{H}_5\text{ONa} + \text{HCl} \rightarrow \text{C}_6\text{H}_5\text{OH} + \text{NaCl}$	
	$\text{C}_6\text{H}_5\text{Cl} + \text{H}_2\text{O} \rightarrow \text{C}_6\text{H}_5\text{OH} + \text{HCl}$	Cu-Fe SiO ₂
	$\text{CH}_3\text{COCH}_3 + \text{C}_6\text{H}_{11}\text{NH}_2 + \text{H}_2 \rightarrow$	Raney Ni
	$\begin{array}{c} \text{CH}_3 \\ \\ \text{C}-\text{N}-\text{C}_6\text{H}_{11} \\ \quad \\ \text{H} \quad \text{H} \\ \\ \text{CH}_3 \end{array} + \text{H}_2\text{O}$	
acrylonitrile	$\text{HC}\equiv\text{CH} + \text{HCN} \rightarrow \text{H}_2\text{C}=\text{CHCN}$	
vinyl chloride	$\text{HC}\equiv\text{CH} + \text{HCl} \rightarrow \text{H}_2\text{C}=\text{CHCl}$	HgCl ₂ -C

1. การถ่ายเทมวลภายนอกของสารเข้าทำปฏิกิริยาจากก้อนของไหล (Bulk fluid) ไปยังพื้นผิวภายนอกของตัวเร่งปฏิกิริยา (External mass transfer of reactants from the bulk fluid stream to the external surface of the catalyst particle)
2. การถ่ายเทมวลภายในของสารเข้าทำปฏิกิริยาไปยังตำแหน่งที่เกิดปฏิกิริยาภายในตัวเร่งปฏิกิริยา (Internal mass transfer of reactants to active sites within the catalyst particle), (กรณีที่เป็นของแข็งที่มีรูพรุน)
3. การดูดซับของสารเข้าทำปฏิกิริยาบนตำแหน่งที่เกิดปฏิกิริยา (Adsorption of reactant on active sites)
4. ปฏิกิริยาบนผิวตัวเร่งปฏิกิริยา (Surface Reaction)
5. การคายตัวของผลิตภัณฑ์ (Desorption of products)
6. การถ่ายเทมวลภายในของผลิตภัณฑ์ไปยังพื้นผิวของตัวเร่งปฏิกิริยา (Internal mass transfer to bulk gas stream)
7. การถ่ายเทมวลภายนอกของผลิตภัณฑ์สู่ลำก่อนของของไหล (External mass transfer to bulk fluid stream)

ลำดับที่ 1, 7 และ 2, 6 เป็นกระบวนการที่ย้อนกลับกัน

3.3 กระบวนการการดูดซับ (Adsorption Process), (6, 17, 18, 20)

การดูดซับคือการที่อะตอมหรือโมเลกุลของสารชนิดหนึ่ง ไปเกาะติดอยู่บนผิวของของแข็ง โดยเรียกอะตอมหรือโมเลกุลนั้นว่า ตัวถูกดูดซับ (Adsorbate) และของแข็งว่าตัวดูดซับ (Adsorbent)

โดยทั่วไปกระบวนการการดูดซับเป็นกระบวนการคายความร้อน ส่วนกระบวนการคายตัวเป็นกระบวนการดูดความร้อน

การดูดซับแบ่งออกเป็น 2 ชนิดคือ

1. การดูดซับทางกายภาพ (Physical Adsorption) ตัวถูกดูดซับไม่เกิดปฏิกิริยาบนผิวตัวดูดซับเลย การเกาะติดเป็นไปโดยอาศัยแรงกายภาพเท่านั้น ที่สำคัญคือ แรงวานเดอร์วาล (Vander Waal Force) ซึ่งเป็นแรงชนิดเดียวกันกับแรงที่ทำให้เกิดการกลั่นตัวเป็นของเหลว (Liquefaction Force)

2. การดูดซับทางเคมี (Chemisorption) ตัวถูกดูดซับ เกิดปฏิกิริยาบนผิวตัวดูดซับ โดยมีการแลกเปลี่ยนอิเล็กตรอน ซึ่งอัตราการดูดซับจะแปรผันโดยตรงกับอุณหภูมิ และมีส่วนเกี่ยวข้องกับพลังงานกระตุ้น (Activation Energy) และนี่เองที่เป็นสาเหตุที่การดูดซับทางเคมี มีชื่ออีกชนิดว่า การดูดซับแบบกระตุ้น (Activated Adsorption)

ถึงแม้ว่ากระบวนการดูดซับทางเคมี มีส่วนคล้ายคลึงกับปฏิกิริยาเคมี แต่ส่วนที่แตกต่างกันคือ ปฏิกิริยาเคมีนั้นเกิดปฏิกิริยาภายในเนื้อสาร แต่การดูดซับทางเคมีเกิดขึ้นที่ผิวเท่านั้น

ความแตกต่างของการดูดซับทางกายภาพและการดูดซับทางเคมี แสดงในตารางที่ 3.3

3.3.1 ไอโซเทอร์มของการดูดซับ (Adsorption Isotherm)

ลักษณะของไอโซเทอร์ม เปลี่ยนไปตามชนิดของตัวดูดซับ โดยทั่วไปแบ่งออกเป็น 5 ชนิด ตาม บรูเนอ เดมิง เดมิง และ เทลเลอร์ (Brunauer, Deming, Deming and Teller) ได้ดังต่อไปนี้ แสดงในรูปที่ 3.2

ชนิดที่ 1 เรียกไอโซเทอร์มของแลงเมียร์ (Langmuir Isotherm) โดยถือว่าการดูดซับของก๊าซบนของแข็งจำกัดเพียงชั้นเดียวอย่างสมบูรณ์

ชนิดที่ 2 โดยมากใช้ในกรณีการดูดซับทางกายภาพ ซึ่งสอดคล้องกับการดูดซับบนตัวดูดซับหลายๆ ชั้น จากรูปที่ 3.2 เห็นได้ว่า กราฟแบ่งเป็น 2 ช่วง มีจุดหักของเส้นโค้งคือจุด B (knees of the curve) ซึ่งเป็นจุดที่แสดงว่าเกิดการดูดซับขึ้นเดียวอย่างสมบูรณ์ (บางครั้งเรียกว่า ไอโซเทอร์มรูปเอส, S Shaped Isotherm)

ชนิดที่ 3 เกิดขึ้นน้อยมาก ตัวอย่างที่ปรากฏได้แก่ การดูดซับของก๊าซไนโตรเจนบนน้ำแข็ง โดยได้มาจากหลักที่ว่า ความร้อนของการดูดซับ เท่ากับหรือน้อยกว่าความร้อนของการกลายเป็นของเหลวของก๊าซ

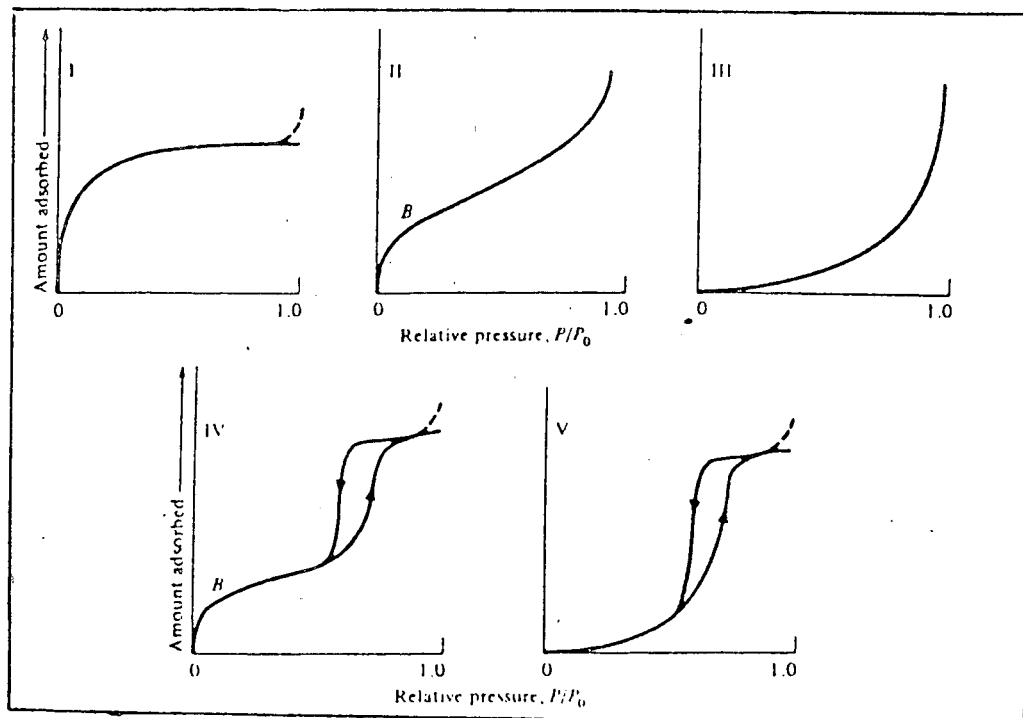
ชนิดที่ 4 และ 5 ทั้งสองชนิดนี้ เป็นผลมาจากการเกิดการควบแน่นในรูพรุน (Pore Condensation) ซึ่งทำให้เกิดปรากฏการณ์ที่เรียกว่า ฮิสเทอรีซิส (Hysteresis)

3.3.2 ฮิสเทอรีซิส

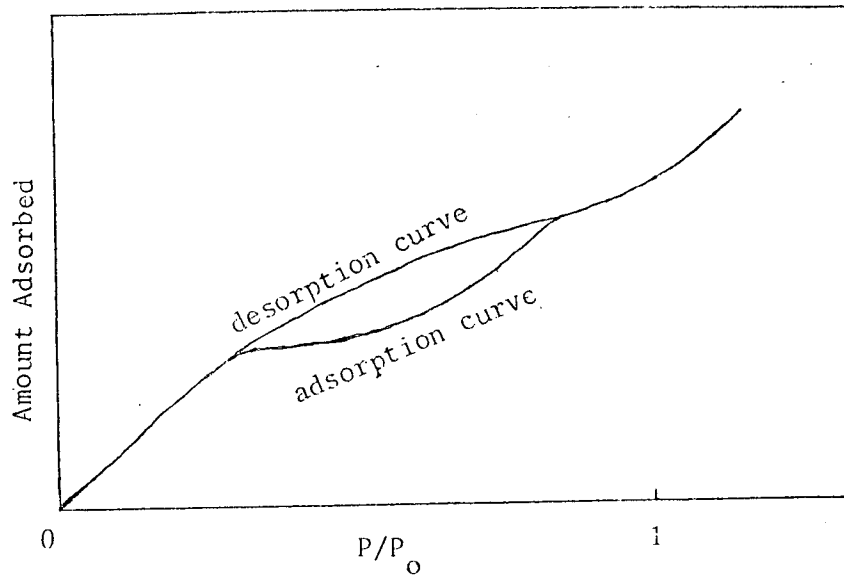
เป็นปรากฏการณ์ที่เส้นโค้งการดูดซับไม่ทับเส้นโค้งการคายตัว โดยเส้นโค้งการคายตัวอยู่สูงกว่าเส้นโค้งการดูดซับ เมื่อกำหนดความดันสัมพัทธ์ให้ (p/p_0) (Relative Pressure)

ตารางที่ 3.3 แสดงความแตกต่างระหว่างการดูดซับทางกายภาพและทางเคมี (12)

Parameter	Physical adsorption	Chemisorption
Adsorbent	All solids	Some solids
Adsorbate	All gases below critical temperature	Some chemically reactive gases
Temperature range	Low temperature	Generally high temperature
Heat of adsorption	Low	High, order of heat of reaction
Rate, activation energy	Very rapid, low E	Nonactivated, low E ; activated, high E
Coverage	Multilayer possible	Monolayer
Reversibility	Highly reversible	Often irreversible
Importance	For determination of surface area and pore size	For determination of active-center area and elucidation of surface-reaction kinetics



รูปที่ 3.2 ชนิดของไอโซเทอร์มการดูดซับ (6)



รูปที่ 3.3 แสดงปรากฏการณ์ฮีสเทอรีซิส (6)

ปรากฏการณ์เกิดขึ้นได้เพราะ

1. เกิดการเปลี่ยนแปลงมุมสัมผัส (Contact Angle) เมื่อเกิดการดูดซับและการคายตัว
2. ถือว่าโครงสร้างของรูพรุนเป็นรูปทรงกระบอก ปากรูพรุนเล็ก แต่ข้างในใหญ่กว่า (Ink Bottle)

จากรูป 3.3 เพื่อมีการดูดซับหรือคายตัวของตัวถูกดูดซับในปริมาณเท่ากัน

$$\left(\frac{p}{p_0}\right)_{\text{des}} < \left(\frac{p}{p_0}\right)_{\text{ads}}$$

จากสมการพลังงานอิสระของกิบ (Gibbs Free Energy)

$$\Delta G_{\text{ads}} = RT \ln \left(\frac{p}{p_0} \right)_{\text{ads}} \quad (3.1)$$

$$\Delta G_{\text{des}} = RT \ln \left(\frac{p}{p_0} \right)_{\text{des}} \quad (3.2)$$

$$\text{จะได้ } \Delta G_{\text{des}} < \Delta G_{\text{ads}}$$

นั่นหมายถึงสภาพการคายตัวจะคงตัวกว่า ดังนั้นจึงใช้เส้นโค้งการคายตัวไปใช้ ในกรณีเกิดปรากฏการณ์ฮีสเทอรีซิส

3.3.3 ไอโซเทอร์มของแลงเมียร์

เป็นไอโซเทอร์มที่ใช้อธิบายปรากฏการณ์การดูดซับทางเคมี โดยที่ดึงข้อสมมติ-
ฐานที่ว่า

1. การดูดซับของตัวถูกดูดซับเกิดเพียง 1 ชั้น เท่านั้น
2. ความร้อนของการดูดซับไม่ขึ้นกับปริมาณของตัวถูกดูดซับบนผิวตัวดูดซับ และไม่มีแรงกระทำต่อกันระหว่างตัวถูกดูดซับที่อยู่ใกล้เคียงกัน

จากทฤษฎีจลนพลศาสตร์ของก๊าซได้ว่า

$$N_m = \bar{N}P / (2\pi\bar{M}RT)^{1/2} \quad (3.3)$$

เมื่อ N_m = จำนวนโมเลกุลที่ชนกันต่อหนึ่งตารางเซนติเมตร พื้นผิวต่อหนึ่งวินาที

\bar{N} = ตัวเลขอวกาศโคจร

P = ความดันของตัวถูกดูดซับ

\bar{M} = น้ำหนักของโมเลกุลตัวถูกดูดซับ

R = ค่าคงที่ของก๊าซ

T = องศาเคลวิน

ถ้าให้ θ_o = สัดส่วนของพื้นที่ผิวที่ไม่ถูกปกคลุมด้วยตัวถูกดูดซับ

ดังนั้นจำนวนการชนซึ่งเกี่ยวข้องกับพื้นที่ผิวที่ไม่ถูกปกคลุมด้วยตัวถูกดูดซับ

$$N_m = k_m P \theta_o \quad (3.4)$$

$$k_m = \bar{N} / (2\pi\bar{M}RT)^{1/2}$$

อัตราการดูดซับ (Rate of adsorption)

$$N_{ads} = k_m P \theta_o A_1 \quad (3.5)$$

เมื่อ A_1 = สัมประสิทธิ์การชน (โอกาสที่โมเลกุลหรืออะตอมจะถูกดูดซับ)

ส่วนอัตราการคายตัว (Rate of desorption)

$$N_{des} = N_{mo} \theta_1 \exp^{-E/RT} = k'_d \theta_1 \quad (3.6)$$

- โดยที่ N_{mo} = จำนวนโมเลกุลหรืออะตอมที่ถูกดูดซับ เมื่อ เกิดการดูดซับหนึ่งชั้นโดยสมบูรณ์ ต่อหนึ่งตาราง เซนติเมตร
- k'_d = ค่าคงที่ของการคายตัวในไอโซ เทอร์มแลง เมียร์
- θ_1 = สัดส่วนของพื้นผิวที่ถูกปกคลุมด้วยโมเลกุลหรืออะตอมของตัวถูกดูดซับต่อหนึ่งชั้น
- E = พลังงานกระตุ้นของการคายตัว
- ν = ความถี่สั่นสะเทือนของตัวถูกดูดซับ (the adsorbate vibrational frequency)

ที่สภาวะสมดุล อัตราการดูดซับ เท่ากับอัตราการคายตัว

$$k_m P \theta_0 A_1 = k'_d \theta_1$$

$$\theta_0 = 1 - \theta_1$$

$$k'_d \theta_1 = k_m P A_1 (1 - \theta_1)$$

$$\theta_1 = \frac{\frac{k_m P A_1}{k'_d}}{1 + \frac{k_m P A_1}{k'_d}}$$

$$= \frac{K_{ED} P}{1 + K_{ED} P} \quad (3.7)$$

เมื่อ $K_{ED} = \frac{k_m A_1}{k'_d}$

K_{ED} = ค่าคงที่สมดุลของการดูดซับ (Adsorption Equilibrium Constant)

3.4 สมการอัตราเร็วของปฏิกิริยา (Rate of Equation)(6,17,21)

ในการหาสมการอัตราเร็วของปฏิกิริยาที่มีตัวเร่งปฏิกิริยาริวินันต์มาเกี่ยวข้อง ต้องกำหนดขั้นตอนหนึ่งเป็นตัวกำหนดอัตราเร็วปฏิกิริยา ซึ่งหมายถึงขั้นนั้นเกิดความต้านทานต่อปฏิกิริยามากที่สุด พอสรุปดังนี้

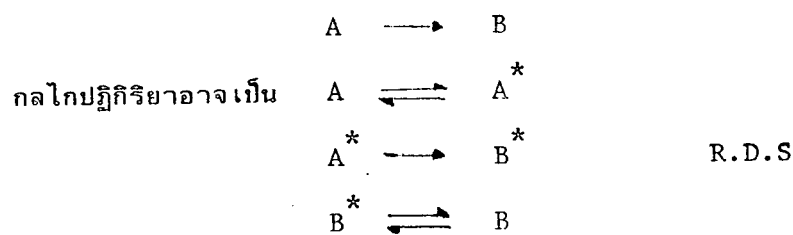
1. ความต้านทานของฟิล์มก๊าซรอบตัวเร่งปฏิกิริยา (Gas film resistance) หมายถึงกระบวนการถ่ายเทภายนอกเป็นตัวกำหนดอัตราเร็วปฏิกิริยา
2. ความต้านทานของการแพร่กระจายเข้าไปในรูพรุน (Pore diffusion resistance) ซึ่งหมายถึง กระบวนการถ่ายเทภายในเป็นตัวกำหนดอัตราเร็วปฏิกิริยา
3. ความต้านทานของปรากฏการณ์บนพื้นผิว (Surface phenomenon resistance) คือขั้นตอนที่เกิดบนพื้นผิว อันได้แก่ การดูดซับ, ปฏิกิริยาบนผิว, การคายตัว ชั้นใดชั้นหนึ่งเป็นตัวกำหนดอัตราเร็วปฏิกิริยา

ในกรณีความต้านทานของปรากฏการณ์บนพื้นผิวเป็นตัวกำหนดอัตราเร็วปฏิกิริยา นั้นถือว่า ไม่มีกระบวนการถ่ายเทภายนอกและภายในมาเกี่ยวข้อง การหาสมการอัตราเร็วของปฏิกิริยาต้องเขียนกลไกของปฏิกิริยาที่นำไปได้ขึ้นมา จากนั้นก็ต้องทดสอบว่า สมการอัตราเร็วของปฏิกิริยาถูกต้องแค่ไหน จึงตัดสินใจว่าสมการที่ได้มายอมรับได้

ลักษณะการเขียนกลไกปฏิกิริยา รวมทั้งการหาสมการอัตราเร็วปฏิกิริยา แสดงได้ดังนี้

3.4.1 ปฏิกิริยาของโมเลกุลเดี่ยว (Unimolecular Reaction)

เมื่อปฏิกิริยาที่ผิว เป็นขั้นกำหนดอัตราเร็วของปฏิกิริยาและผลิตภัณฑ์ไม่ถูกดูดซับบนตัวเร่งปฏิกิริยา



$$\text{rate} = k \theta_A \tag{3.8}$$

ใช้ไอโซเทอร์มของแลงเมียร์

$$\theta_A = \frac{K_{ED} P_A}{1 + K_{ED} P_A} \tag{3.9}$$

$$\text{rate} = k \frac{K_{ED} P_A}{1 + K_{ED} P_A} \tag{3.10}$$

ที่ความดันต่ำมาก $K_{ED} P_A \ll 1$

$$\text{rate} = k K_{ED} P_A \quad (3.11)$$

เป็นปฏิกิริยาอันดับหนึ่ง

แต่ถ้า $K_{ED} P_A \gg 1$

$$\text{rate} = k \quad (3.12)$$

เป็นปฏิกิริยาอันดับศูนย์

เมื่อปฏิกิริยาที่ผิว เป็นขั้นกำหนดอัตราเร็วของปฏิกิริยาและผลิตภัณฑ์ถูกดูดซับบนตัวเร่ง

ปฏิกิริยา

ใช้ไอโซเทอร์มของแลงเมียร์

$$k_d \theta_A = k_m P_A (1 - \Sigma \theta) \quad (3.13)$$

เมื่อ $\Sigma \theta =$ สัดส่วนบนพื้นผิวที่ถูกปกคลุมด้วยสปีซีต่างๆ ในที่นี้คือ A, B

ได้ $\theta_A = K_A P_A (1 - \Sigma \theta)$ (3.14)

ทำนองเดียวกัน $\theta_B = K_B P_B (1 - \Sigma \theta)$ (3.15)

ดังนั้น $1 - \Sigma \theta = \frac{1}{1 + K_A P_A + K_B P_B}$

$$\text{rate} = \frac{k K_A P_A}{1 + K_A P_A + K_B P_B} \quad (3.16)$$

ในกรณีที่มีสปีซีมากกว่า 2 ชนิด เช่น มีการเติมตัวเป็นพิษลงไป ส่วนหารของสมการ

(3.16) ต้องเติมสปีซีนั้นลงไปด้วย

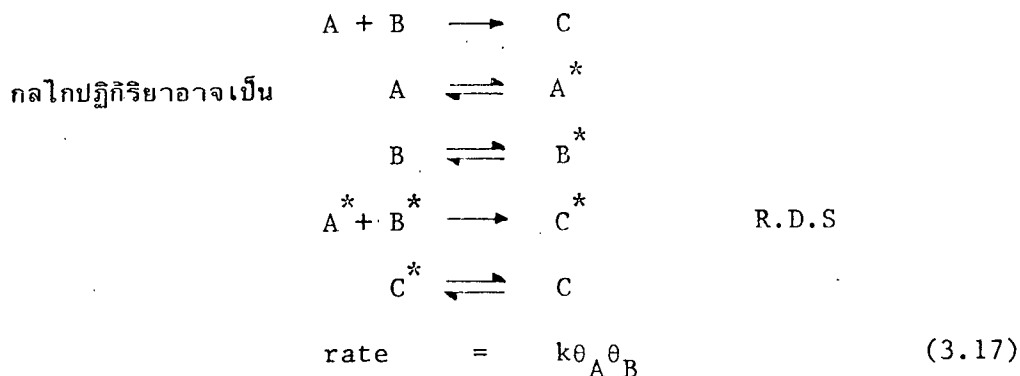
$$\text{rate} = \frac{k K_A P_A}{1 + K_A P_A + K_B P_B + K_P P_P}$$

เมื่อตัวห้อย P หมายถึงตัวเป็นพิษ

3.4.2 ปฏิกิริยาโมเลกุลคู่ (Bimolecular Molecule)

เมื่อปฏิกิริยาที่ผิวเป็นขั้นกำหนดอัตราเร็วของปฏิกิริยา และผลิตภัณฑ์ได้ถูกดูดซับ

บนผิว



$$\theta_A = \frac{K_A P_A}{1 + K_A P_A + K_B P_B} \quad (3.18)$$

$$\theta_B = \frac{K_B P_B}{1 + K_A P_A + K_B P_B} \quad (3.19)$$

$$\text{rate} = \frac{kK_A K_B P_A P_B}{(1 + K_A P_A + K_B P_B)^2} \quad (3.20)$$

ถ้า A, B ถูกดูดซับอ่อนมาก $K_A P_A, K_B P_B \ll 1$

$$\text{rate} = kK_A K_B P_A P_B \quad (3.21)$$

ถ้า A ถูกดูดซับอ่อนมาก แต่ B ถูกดูดซับแรงมาก $K_B P_B \gg 1, K_A P_A \ll 1$

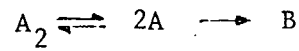
$$\text{rate} = \frac{kK_A P_A}{K_B P_B} \quad (3.22)$$

ถ้า A, B ถูกดูดซับไม่ขึ้นแก่กัน และอยู่คนละตำแหน่ง

$$\begin{array}{l}
 \theta_A = \frac{K_A P_A}{1 + K_A P_A} \\
 \theta_B = \frac{K_B P_B}{1 + K_B P_B}
 \end{array}$$

$$\text{rate} = \frac{kK_A K_B P_A P_B}{(1 + K_A P_A)(1 + K_B P_B)} \quad (3.23)$$

3.4.3 สารตั้งต้นสลายตัวก่อน แล้วจึงกลายเป็นผลิตภัณฑ์



อัตราเร็วของปฏิกิริยาอาจเป็นอันดับหนึ่งหรืออันดับสองขึ้นอยู่กับ การสลายตัวของ A_2

ใช้ไอโซเทอร์มของแลงเมียร์

$$k_d \theta_A^2 = k_m P_A (1 - \theta_A)^2$$

$$\theta_A = \frac{(K_A P_A)^{1/2}}{1 + (K_A P_A)^{1/2}}$$

ถ้า $\text{rate} = k\theta_A$

ได้ $\text{rate} = \frac{k(K_A P_A)^{1/2}}{1 + (K_A P_A)^{1/2}} \quad (3.24)$

แต่ถ้า $\text{rate} = k\theta_A^2$

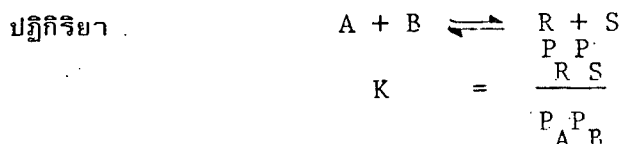
ได้ $\text{rate} = \frac{kK_A P_A}{(1 + (K_A P_A)^{1/2})^2} \quad (3.25)$

ถ้าสังเกตดูจะเห็นว่า อัตราเร็วของปฏิกิริยาประกอบด้วย 3 เทอม คือ เทอมทางจลนพลศาสตร์, ศักยภาพและการดูดซับ ดังแสดงได้เป็น

$$\text{rate} = \frac{(\text{Kinetic term})(\text{Potential term})}{(\text{Adsorption term})^n} \quad (3.26)$$

เทอมของจลนพลศาสตร์ จะรวมตัวประกอบบนตัวคูณ (Numerator) ของสมการอัตราเร็วของปฏิกิริยา นอกจากเทอมของศักยภาพ เช่น จำนวนตำแหน่งที่ว่างไว้อต่อปฏิกิริยา , ค่าคงที่อัตราเร็ว

เทอมของศักยภาพ เป็นเทอมที่บอกสภาวะสมดุล เช่น



เทอมของการดูดซับ เป็นส่วนหาร (Denominator) ของสมการอัตราเร็วของปฏิกิริยา โดยรวมทุกสปีซีที่ถูกดูดซับบนตัวเร่งปฏิกิริยา

n จำนวนที่บอกว่าการดูดซับ เป็นแบบกี่ตำแหน่งบนตัวเร่งปฏิกิริยา

ตัวอย่างของเทอมเหล่านี้ แสดงในตารางที่ 3.4

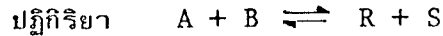
ตารางที่ 3.4 เทอมต่างๆ ของอัตราเร็วของปฏิกิริยาโดยใช้ไอโซเทอร์มแลงเมียร์ (6)

	Reaction			
	$A \rightleftharpoons R$	$A \rightleftharpoons R+S$	$A+B \rightleftharpoons R$	$A+B \rightleftharpoons R+S$
Kinetic term, with or without dissociation of A	kK_A	kK_A	$kK_A K_B$	$kK_A K_B$
Potential term	$P_A - P_R / K$	$P_A - P_R P_S / K$	$P_A P_B - P_R / K$	$P_A P_B - P_R P_S / K$
Value of n				
A undissociated	1	2	2	2
A dissociated	2	2	3	3

จากตารางที่ 3.4 ไม่ได้แสดงเทอมของการดูดซับ ซึ่งลักษณะเทอมของการดูดซับขึ้นกับว่ามีกี่สปีซีที่ถูกดูดซับ ลักษณะของเทอมของการดูดซับคือ

$$\text{Adsorption term} = (1 + \sum_i K_i P_i) \quad (3.27)$$

ตัวอย่างของการให้ตารางที่ 3.4



เมื่อปฏิกิริยาที่ผิว เป็นตัวกำหนดอัตราเร็วของปฏิกิริยา ไม่มีการสลายตัวของสารตั้งต้น และผลิตภัณฑ์ทุกตัวถูกดูดซับบนตัว เร่งปฏิกิริยา

เทอมของจลนพลศาสตร์	$k K_A K_B$
เทอมของศักยภาพ	$P_A P_B - P_R P_S / K$
เทอมของการดูดซับ	$1 + K_A P_A + K_B P_B + K_R P_R + K_S P_S$
ตัว เลขยกกำลัง	2

ดังนั้นได้ว่า

$$\text{rate} = \frac{k K_A K_B (P_A P_B - P_R P_S / K)}{(1 + K_A P_A + K_B P_B + K_R P_R + K_S P_S)^2} \quad (3.28)$$

3.5 การเตรียมตัว เร่งปฏิกิริยาวิวิธพันธ์ (Preparation of Heterogeneous Catalyst)

(6, 22, 23, 24, 25, 26, 27)

การเตรียมตัว เร่งปฏิกิริยาถือว่าเป็นศาสตร์ที่สำคัญมากในการศึกษา เกี่ยวข้องกับตัว เร่งปฏิกิริยาวิวิธพันธ์ ตัว เร่งปฏิกิริยาวิวิธพันธ์ที่ใช้ในอุตสาหกรรมต้องมีความว่องไวในเชิงปฏิกิริยา ต้องอยู่ตัว และสามารถบังคับไม่ให้เกิดปฏิกิริยาข้างเคียงได้ ซึ่งสิ่งเหล่านี้ขึ้นอยู่กับ เทคนิคการเตรียมตัว เร่งปฏิกิริยาทั้งนั้น แต่เดิมนั้นการเตรียมตัว เร่งปฏิกิริยามีลักษณะ เป็นศิลปะมากกว่าศาสตร์ การเตรียมตัว เร่งปฏิกิริยาแต่ละครั้งทั้งๆ ที่วิธีการเดียวกัน ตัว เร่งปฏิกิริยาชนิดเดียวกัน ผลที่ออกมาอาจไม่เหมือนกัน ทั้งนี้เพราะไม่สามารถควบคุมสภาวะการเตรียมตัว เร่งปฏิกิริยาให้เหมือนกันทุกๆ ครั้งได้ แต่ปัจจุบันนี้วิทยาการเจริญขึ้น สามารถควบคุมสภาวะการเตรียมตัว เร่งปฏิกิริยาได้ดีขึ้น ตลอดจนมีเครื่องมือสำหรับทดสอบตัว เร่งปฏิกิริยาที่เตรียมขึ้น ทำให้ลักษณะการเตรียมตัว เร่งปฏิกิริยาไปทางศาสตร์มากขึ้น

การเตรียมตัวเร่งปฏิกิริยาที่ใช้ในอุตสาหกรรมมีหลายวิธี ซึ่งแต่ละวิธีก็เหมาะสมกับตัวเร่งปฏิกิริยาแต่ละอย่างไป แต่ที่สำคัญคือ

3.5.1 การซึบ (Impregnation) เป็นวิธีที่ง่ายและใช้มากที่สุด ในการเตรียมตัวเร่งปฏิกิริยา โดยเฉพาะตัวเร่งปฏิกิริยานี้เกิด ทำได้โดยเติมตัวรองรับ (Support) เช่น อะลูมินา ลงในสารละลายของเกลือโลหะ เช่น เกลือไนเตรท เกลือโลหะจะแพร่กระจายสู่ตัวรองรับ จากนั้นก็ทำให้เกลือโลหะร้อนเพื่อให้เกลือโลหะที่อยู่บนตัวรองรับสลายตัวให้โลหะออกไซด์ เกาะบนตัวรองรับ

การเตรียมตัวเร่งปฏิกิริยา โดยวิธีการซึบแบ่งเป็น 2 ชนิด คือ

1. การซึบชนิดเปียก (Wet Impregnation)

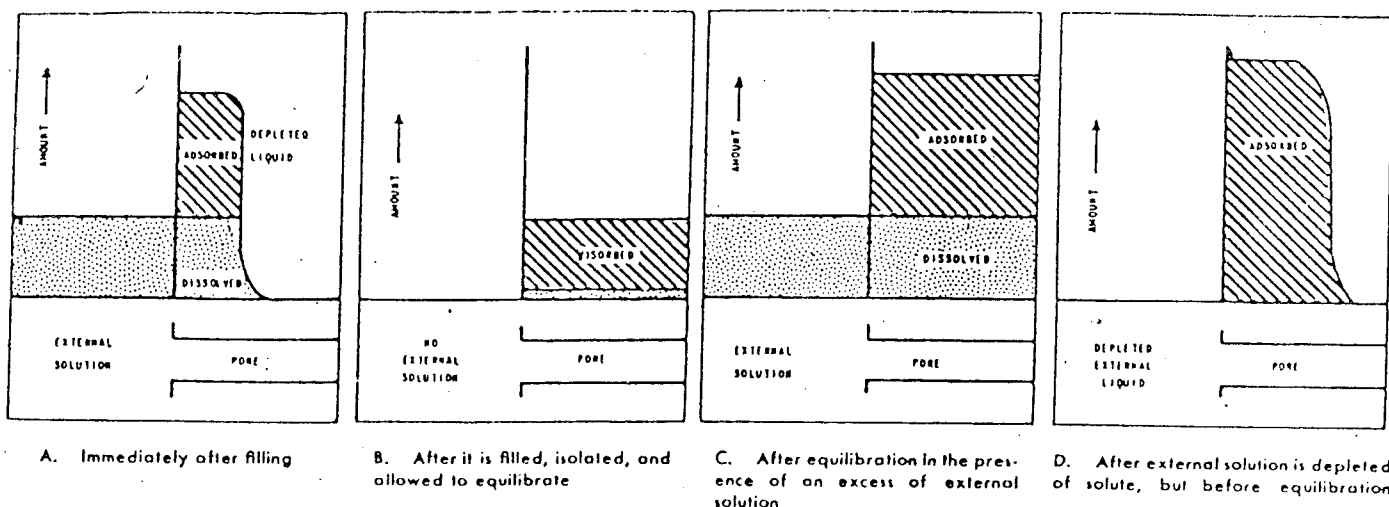
วิธีนี้เติมตัวรองรับลงในสารละลายของเกลือโลหะที่มีปริมาณมากเกินพอ ดังนั้น ปริมาณของเกลือโลหะที่เกาะบนตัวรองรับ รู้ได้ก็ต่อ เมื่อรู้ปริมาณของเกลือโลหะก่อนและหลังเตรียม ผลต่างของปริมาณเกลือโลหะก่อนและหลัง เป็นปริมาณของเกลือโลหะที่เกาะบนตัวรองรับ ซึ่งไม่สะดวกนักถ้าทำในห้องปฏิบัติการ

2. การซึบชนิดแห้ง (Dry Impregnation or Impregnation to incipient wetness) เป็นวิธีที่สะดวกในห้องปฏิบัติการ เพราะต้องเตรียมสารละลายของเกลือโลหะให้มีปริมาณพอดีที่จะ เกาะบนตัวรองรับ

3.5.1.1 การดูดซับของสารละลายเกลือโลหะบนตัวรองรับโดยวิธีซึบ

ปริมาณและการแจกแจงของเกลือโลหะบนพื้นผิวภายในตัวรองรับ มีผลต่อคุณสมบัติของตัวเร่งปฏิกิริยาที่เตรียมขึ้น ซึ่งปริมาณและการแจก เปลี่ยนขึ้นอยู่กับลักษณะการดูดซับของสารละลายเกลือโลหะ เข้าไปในรูพรุน ของตัวรองรับ

ในรูปที่ 3.4 แสดงถึงลักษณะการดูดซับของเกลือโลหะบนตัวรองรับ



รูปที่ 3.4 แสดงพฤติกรรมของการดูดซับเกลือโลหะที่แพร่กระจายเข้าไปในรูพรุนของตัวเร่งปฏิกิริยา

(26)

คำอธิบายรูปที่ 3.4

A การแจกแจงของเกลือโลหะบนตัวรองรับ เมื่อสารละลายสามารถแพร่กระจาย สิ่งปลายอีกข้างหนึ่งของรูพรุน โดยตั้งข้อสมมติฐานที่ว่า อัตราการทะลุทะลวง (Rate of Penetration) และอัตราการแพร่กระจายของตัวถูกละลายเข้าไปในรูพรุนช้า เมื่อเทียบกับอัตราการดูดซับ เกลือโลหะทั้งหมดในตัวทำละลายที่เข้าไปในรูพรุนจะถูกดูดซับที่ผนัง พันที่ที่เข้าไปในรูพรุน โดยที่ตัวทำละลายยังคงผ่านเข้าไปในรูพรุนโดยไม่มีตัวถูกละลาย การดึงตัวทำละลายให้ออกจากรูพรุนทำได้โดยการอบแห้ง แต่ตัวถูกละลายยังคงอยู่เฉพาะบริเวณปลายรูพรุนของตัวรองรับ เป็นส่วนใหญ่

B สืบเนื่องจากกรณี A อัตราเร็วของการคายตัวสูง เมื่อเทียบกับอัตราการดูดซับ ดังนั้น เมื่อตัวถูกละลายถูกดูดซับจะเกิดการคายตัวทันทีที่เกิดการเคลื่อนที่ของตัวทำละลาย โดยวิธีการแพร่ นั่นคือทำให้เกิดการแจกแจงใหม่ การเตรียมตัวเร่งปฏิกิริยาเพื่อใช้ในอุตสาหกรรม ถ้าจะให้ได้ดีผลดี ต้องศึกษาเพื่อใ้กลไกการดูดซับของตัวถูกละลายบนตัวรองรับเป็นไปตาม B อันเนื่องจากการแจกแจงของเกลือโลหะเป็นไปอย่างเดียวกัน แต่มีข้อแม้ว่า อัตราการคายตัวต้องสูงเสมอ

C บางครั้งในกรณีการซับชนิดเปียก โดยปล่อยให้ตัวรองรับแช่ในสารละลายเกิดการแพร่กระจายของตัวถูกละลายจากสารละลายภายนอกรูพรุน เข้าไปในรูพรุนจนถึงจุดสมดุล ทำให้เกิดการแจกแจงของ เกลือโลหะบนตัวรองรับ เป็นแบบสม่ำเสมอ

D คล้ายกับ C แต่ต่างที่ว่า ตัวถูกละลายที่อยู่ในสารละลายภายนอกแพร่กระจายเข้าไปในรูพรุนหมดก่อน ที่การแจกแจงเป็นไปอย่างสม่ำเสมอ

3.5.1.2 การทะลุล่วงของของเหลว (Liquid Penetration)

ของเหลวสามารถที่จะเข้าไปในรูพรุนได้ต้องมีแรงขับ แรงขับที่ว่านี้คือแรงดันคาพิลลารี (Capillary force) ซึ่งเป็นแรงดึงผิวต่อ 1 หน่วยพื้นที่หน้าตัด แรงนี้มีค่ามากดังแสดงในตารางที่ 3.5 ซึ่งตารางที่ 3.5 ใช้สำหรับรูพรุนของตัวรองรับมีลักษณะเป็นทรงกระบอก ตารางที่ 3.5 ความดันคาพิลลารีของตัวรองรับต่างชนิดกัน (26)

Type of Support	Surface Area m^2/gm	Capillary Pressure Atm
Silicagel, Davison	650	1300
Alumina F-10	110	200
Silica-Alumina beads, 10 % Alumina	350	640

$$\begin{aligned}
 \text{ความดันคาพิลลารี} &= \frac{\text{แรงดันคาพิลลารี}}{\text{พื้นที่หน้าตัดของรูพรุน}} \\
 &= \frac{2\gamma r \cos \theta}{\pi r^2} \\
 &= \frac{2\sigma}{r} \quad (3.29)
 \end{aligned}$$

เมื่อ r = รัศมีของรูพรุน

σ = แรงดึงผิว

ส่วนรัศมีของรูพรุน

$$r = \frac{2PV}{SA} \quad (3.30)$$

เมื่อ PV = ปริมาตรของรูพรุน

SA = พื้นที่ผิวของตัวรองรับ

ส่วน เวลาที่ใช้ในการทะลุทะลวง ซึ่งเป็นเวลาที่ของเหลวทะลุทะลวงเข้าไปในรูพรุนอันเนื่องมาจากมีแรงหนืดมาต้าน

$$t = \frac{2\mu X_L^2}{\sigma r} \quad (3.31)$$

เมื่อ μ = สัมประสิทธิ์ของความหนืด

X_L = ระยะเวลาที่ของเหลวทะลุทะลวงในเวลา t

3.5.2 การตกตะกอน (Precipitation)

เป็นวิธีการเตรียมตัวเร่งปฏิกิริยาที่นิยมใช้ในอุตสาหกรรม รองลงมาจากวิธีการขับ แต่มีข้อได้เปรียบที่ว่า สามารถเตรียมตัวเร่งปฏิกิริยาเพื่อให้มี% ของโลหะสูงได้ ซึ่งวิธีการขับทำไม่ได้ การตกตะกอนมี 2 วิธีคือ

1. การตกตะกอนธรรมดา เพื่อให้ได้โลหะออกไซด์อย่างเดียว วิธีการทำได้โดยเติมสารละลายที่เป็นโลหะเกลือ ลงในสารละลายพวกอัลคาไล ไฮดรอกไซด์ (Alkaline hydroxide) หรือแอมโมเนียมไฮดรอกไซด์ (Ammonium hydroxide) หรือแอมโมเนียมคาร์บอเนต (Ammonium Carbonate) ได้โลหะไฮดรอกไซด์หรือโลหะคาร์บอเนต ซึ่งสามารถเปลี่ยนเป็นโลหะออกไซด์ โดยทำให้ร้อนขึ้น

2. การตกตะกอนร่วม เช่นเดียวกันกับการตกตะกอนธรรมดา แต่แทนที่จะใช้เพียงโลหะเกลือชนิดเดียว ต้องใช้มากกว่า 2 ชนิด เพื่อให้เกิดสารละลายเชิงซ้อน ซึ่งเรียกว่า ตัวเร่งปฏิกิริยาพรีเคอร์เซอร์ (Catalyst Precursor) ถ้าต้องการเตรียมตัวเร่งปฏิกิริยาโลหะบนตัวรองรับอะลูมินา ตัวเร่งปฏิกิริยาพรีเคอร์เซอร์คือ $Me_6^{2+}Al_2^{3+}(OH)_{16}CO_3 \cdot 4H_2O$ เมื่อ Me คือชนิดของโลหะบนตัวรองรับ

ในแง่การเตรียมโลหะบนตัวรองรับอื่นๆ ตัวเร่งปฏิกิริยาฟรีเคอเซอมีลักษณะของสูตรต่างกันออกไป

วิธีการ ต้องเตรียมสารละลายของเกลือโลหะและเกลือของอลูมิเนียมก่อน เช่น เกลือโลหะไนเตรทและเกลืออลูมิเนียมไนเตรท จากนั้นก็เติมสารที่ทำให้เกิดการตกตะกอน (Precipitating Agent) เช่น อัลคาไล , คาร์บอเนต แต่ที่นิยมมากที่สุดคือ โซเดียมคาร์บอเนตและโซเดียมไบคาร์บอเนต จะเกิดตัวเร่งปฏิกิริยาฟรีเคอเซอ จากนั้นก็ทำให้ร้อนขึ้น เพื่อให้ตัวเร่งปฏิกิริยาฟรีเคอเซอละลายตัว เป็น โลหะออกไซด์บนอะลูมินา

ข้อควรระวังในการเตรียมตัวเร่งปฏิกิริยาแบบตกตะกอน คือการควบคุมสภาวะในระหว่างเตรียม เช่น pH , อัตราการผสม, อัตราการเติมสารที่ทำให้ตกตะกอน ตัวแปรเหล่านี้มีผลต่อโครงสร้างของตัวเร่งปฏิกิริยาเป็นอย่างมาก

การเลือกเกลือโลหะ ไม่ว่าจะเป็นการเตรียมแบบซัพและแบบตกตะกอน นิยมใช้เกลือไนเตรตและฟอร์เมต ส่วนเกลือซัลเฟตและคลอไรด์ไม่นิยม เพราะสามารถเกิดเป็นคลอรินและกำมะถันซึ่งเป็นพิษต่อตัวเร่งปฏิกิริยา

ข้อได้เปรียบเสียเปรียบของการเตรียมทั้ง 2 วิธี แสดงในตารางที่ 3.6

ตารางที่ 3.6 ข้อได้เปรียบเสียเปรียบของการเตรียมตัวเร่งปฏิกิริยาแบบซัพและแบบตกตะกอน

แบบซัพ	แบบตกตะกอน
1. เตรียมได้ง่าย สะดวก สามารถควบคุมสภาวะการทดลองง่าย	1. เตรียมยากกว่า การควบคุมสภาวะการทดลองก็ยากกว่า
2. เตรียม % โลหะบนตัวรองรับได้จำกัด ขึ้นอยู่กับปริมาณของรูพรุนของตัวรองรับ	2. เตรียม % โลหะได้ตามต้องการ
3. คุณสมบัติของตัวเร่งปฏิกิริยาโดยมากถูกควบคุมด้วยคุณสมบัติของตัวรองรับ เช่น พื้นที่ผิวของตัวเร่งปฏิกิริยามากหรือน้อย ขึ้นอยู่กับพื้นที่ผิวของตัวรองรับ	3. คุณสมบัติของตัวเร่งปฏิกิริยาที่ได้ อยู่ที่สภาวะการควบคุมระหว่างการเตรียมตัวเร่งปฏิกิริยา

การเตรียมตัวเร่งปฏิกิริยาทั้งวิธีการขับ และการตกตะกอนนิยมมากในอุตสาหกรรม ส่วนการเตรียมตัวเร่งปฏิกิริยาโดยวิธีอื่น เช่น การหลอมตัวด้วยความร้อน (Thermal Fusion) ปฏิกิริยาเคมี, การระเหยของไอโลหะ เป็นการเตรียมตัวเร่งปฏิกิริยาที่ใช้เฉพาะตัวเร่งปฏิกิริยาบางชนิดเท่านั้น

หลังจากที่เตรียมตัวเร่งปฏิกิริยาเสร็จแล้ว ลำดับต่อไปคือ

การล้าง เพื่อกำจัดมลทิน ซึ่งไม่จำเป็นนักสำหรับการขับ

การทำให้แห้ง สามารถทำได้ทั้งในเตาอบ หรือทิ้งไว้ในอากาศ แต่โดยมากนิยมทำให้แห้งในตู้อบอุณหภูมิ 110°ซ ประมาณ 24 ชั่วโมง เพื่อให้แน่ใจว่า น้ำได้ออกจากโครงสร้างจนหมดแล้ว

การจัดรูป ขึ้นอยู่กับวัตถุประสงค์การใช้งาน แต่ถ้าเป็นการเตรียมตัวเร่งปฏิกิริยาแบบขับ การจัดรูปอาจทำในช่วงการเตรียมตัวรองรับ

รูปทรงที่นิยมใช้อาจเป็น เม็ดเล็กๆ (Granules) ทรงกลม, เม็ดแบน (Tabletting) หรือทรงกระบอก

การเผาที่อุณหภูมิสูง (Calcination) เพื่อกำจัดมลทินที่ไม่ต้องการมีในตัวเร่งปฏิกิริยาออกไป เช่น ประจุบวกหรือลบที่ไม่เสถียรหรือระเหยง่าย แต่เหตุผลที่สำคัญที่สุด คือต้องการเปลี่ยนรูปเกลือโลหะให้เป็นโลหะออกไซด์ อุณหภูมิที่ใช้ควรสูงพอเพื่อให้เกิดสภาพการเริ่มต้นของการรวมตัวของเม็ดผลึกด้วยความร้อน (Incipient Sintering) แต่ต้องไม่ให้เกิดการรวมตัวของเม็ดผลึกด้วยความร้อนมากเกินไป (Excessive Sintering) ถ้าเกิดสภาพนี้แล้ว จะลดความว่องไวของตัวเร่งปฏิกิริยาอันเนื่องมาจากพื้นที่ผิวที่เป็นตำแหน่งเกิดปฏิกิริยาลดลง และยังเป็นสาเหตุจำกัดการแพร่กระจาย (Diffusion limitation) อันเนื่องจากขนาดของรูพรุนลดลง โดยทั่วไปการเลือกอุณหภูมิเพื่อใช้ในการเผาขึ้นขึ้นอยู่กับชนิดของโลหะที่เป็นตัวเร่งปฏิกิริยา รวมทั้งอุณหภูมิของเตาปฏิกรณ์เคมี สำหรับตัวเร่งปฏิกิริยานิกเกิลที่ใช้ในปฏิกิริยาสดัมรีฟอร์มมิง ใช้ประมาณ 500°ซ

ปัญหาที่พบระหว่างการเผาที่อุณหภูมิสูงคือ อาจเกิดปฏิกิริยาระหว่างตัวรองรับโลหะออกไซด์ เช่น โลหะออกไซด์กับอะลูมินา ได้โลหะอะลูมิเนต โลหะออกไซด์กับซิลิกา ได้โลหะซิลิเกต อัตราส่วนระหว่างโลหะออกไซด์ต่ออะลูมินามีความสำคัญต่อการเกิดโลหะอะลูมิเนต เพราะถ้าอัตราส่วนมีค่าต่ำจะมีโอกาสที่จะเกิดอะลูมิเนตได้ง่ายกว่าอัตราส่วนที่มีค่าสูง

การรีดักชันเป็นโลหะ (Reduction to Metal) เพื่อเปลี่ยนรูปโลหะออกไซด์เป็นโลหะ การรีดักชันสามารถทำได้ทั้งในเตาปฏิกรณ์เคมี หรือเครื่องเผาที่อุณหภูมิสูง (Calcinator) ทั้งนี้ขึ้นอยู่กับสภาวะหลังการรีดักชันว่า โลหะนั้นว่องไวแค่ไหน ถ้าตัวเร่งปฏิกิริยาหลังจากการรีดักชัน มีความว่องไวสูง สามารถลุกติดไฟเองได้ ควรทำการรีดักชันในเตาปฏิกรณ์เคมี แต่ถ้าทำไม่ได้ต้องเพิ่มความระมัดระวังในการรีดักชันเป็นอย่างมาก

การรีดักชันโลหะออกไซด์ต้องทำที่อุณหภูมิสูง โดยการพ่นก๊าซไฮโดรเจนอย่างเดียวหรือพ่นก๊าซไนโตรเจนตามไปด้วย (เพื่อเหตุผลในแง่ความปลอดภัย) นอกจากนี้อาจพ่นสารอื่นลงไปอีกแล้วแต่ชนิดของโลหะออกไซด์ ความเร็วของก๊าซไฮโดรเจนที่ผ่านชั้นของโลหะออกไซด์ต้องสูงพอเพื่อสามารถพาไอน้ำที่เกิดขึ้นออกไปให้หมด เพราะไอน้ำเป็นตัวหน่วงอัตราเร็วของการรีดักชันโดยเกิดไฮดรอกซิลเลตที่ผิว



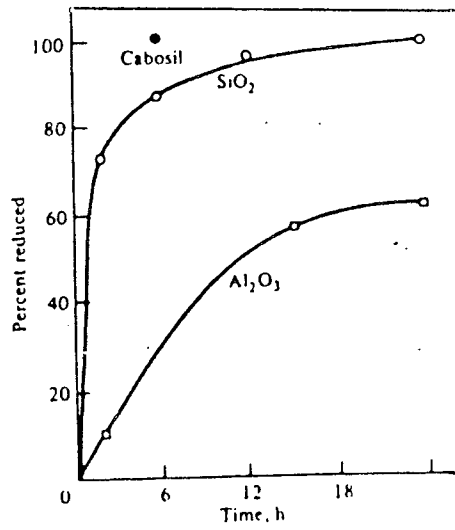
ในกรณีที่ เป็นอะลูมิเนียมเนต การรีดักชันทำได้ยากกว่า ดังนั้น การรีดักชันต้องใช้สภาวะที่รุนแรงขึ้น ผลที่ตามมาเกิดการรวมตัวกันของผลึกโลหะด้วยความร้อนมากเกินไป ทำให้ความว่องไวเชิงปฏิกิริยาลดลง

อุณหภูมิที่ใช้ในการรีดักชันโลหะออกไซด์ในกลุ่ม 8 ของตารางปิริออดิกรวมทั้ง ทองแดง เงิน ทอง ริเนียม โคโรเนียม วานาเดียม แทนทาลัม ดิตาเนียม แมงกานีส ใช้ตั้งแต่ 300-600 °ซ ทั้งนี้ทั้งนี้อุณหภูมิสูงสุดที่ใช้ในการรีดักชันต้องไม่มากกว่า อุณหภูมิที่ใช้ในเตาปฏิกรณ์เคมี(6)

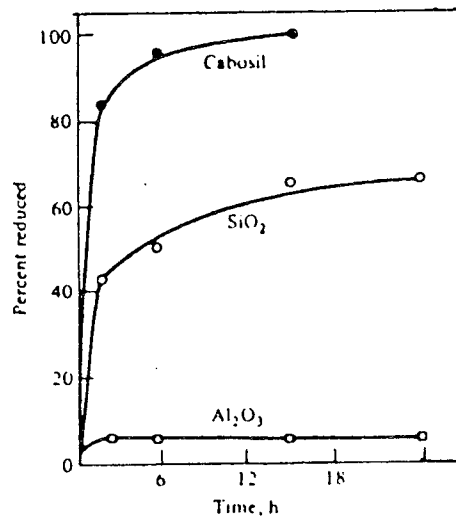
นอกจากนี้การรีดักชันจะง่ายหรือยากยิ่งขึ้นกับชนิดของตัวรองรับ เช่นในรูปที่ 3.5 แสดงถึงนิเกิลออกไซด์หลังจากที่ถูกเผาที่อุณหภูมิสูงที่ 538 °ซ นิเกิลบนตัวรองรับคาบอซิล (Cabosil : nonporous silica prepared by a flame process) ถูกรีดิวได้ง่ายกว่า นิเกิลออกไซด์บนซิลิกาเจล ส่วนนิเกิลออกไซด์บนอะลูมินาถูกรีดิวได้ยากที่สุด

ส่วนรูปที่ 3.6 เมื่อเปรียบเทียบกับรูปที่ 3.5 เห็นได้ว่าการเผาที่อุณหภูมิสูง ลดความสามารถของการรีดักชันโลหะออกไซด์บนตัวรองรับ อันเนื่องจากการเกิดปฏิกิริยาระหว่างตัวรองรับกับโลหะออกไซด์ หลังการเผาที่อุณหภูมิสูง

จากการศึกษาความง่ายของการรีดักชันโลหะบนตัวรองรับเดียวกัน พบว่าความง่ายของการรีดักชันโลหะ เรียงจากง่ายไปยากคือ Pt > Ni > Co > Fe



รูปที่ 3.5 อิทธิพลของตัวรองรับที่มีผลต่อการรีดักชัน เมื่อทำการเผาที่อุณหภูมิสูง ที่ 538 °ซ มาก่อน (6)



รูปที่ 3.6 อิทธิพลของตัวรองรับที่มีผลต่อการรีดักชัน เมื่อทำการเผาที่อุณหภูมิสูง ที่ 737 °ซ มาก่อน (6)

3.6 ตัวรองรับ (Support) (6,28)

ดังที่กล่าวมาแล้วว่า ปัจจัยที่มีผลต่อความว่องไวของตัวเร่งปฏิกิริยา คือ พื้นที่ผิว, ความพรุน, ลักษณะทางเรขาคณิตของพื้นผิว, ความสามารถในการต้านการเสื่อมสภาพของตัวเร่งปฏิกิริยา ฯลฯ ปัจจัยเหล่านี้ ในปฏิกิริยาบางชนิด ตัวเร่งปฏิกิริยาที่มีเฉพาะโลหะอย่างเดียว อาจไม่สามารถทำหน้าที่ที่ดีได้ ถึงแม้ว่าจะทำได้แต่ก็ไม่คุ้มกับการลงทุน จึงมีการนำเอาสารชนิดหนึ่งมาใช้ เรียกสารเหล่านี้ว่า ตัวรองรับ

คุณสมบัติที่สำคัญของตัวรองรับ แสดงในตารางที่ 3.7

ตารางที่ 3.7 คุณสมบัติของตัวรองรับ (28)

1. Economic
 - (a) To reduce cost by extending an expensive catalyst
2. Mechanical
 - (a) To give mechanical strength
 - (b) To optimize bulk density
 - (c) To provide a heat sink or a heat source
 - (d) To dilute an overactive phase
3. Geometric
 - (a) To increase the surface area of a catalyst
 - (b) To optimize the porosity of a catalyst
 - (c) To optimize crystal and particle size
 - (d) To allow the catalyst particles to adopt the most favourable configuration
4. Chemical
 - (a) To react with the catalyst either to improve specific activity or to minimize sintering
 - (b) To accept or donate chemical entities possible via a spillover mechanism



5. Deactivation

- (a) To stabilise the catalyst against sintering
- (b) To minimize poisoning

ตัวรองรับแต่ละชนิดที่นำมาใช้ ต้องมีคุณสมบัติดังในตารางที่ 3.7 มากหรือน้อยก็แล้ว แต่ชนิดของตัวรองรับ ดังนั้นจึงขึ้นอยู่กับผู้ที่จะนำมาใช้ว่า จะยอมรับตัวรองรับชนิดไหนในปฏิกิริยานั้นๆ

ตัวรองรับที่นิยมใช้ในอุตสาหกรรมมี 3 ชนิดคือ อะลูมินา ซิลิกา และแอทติเวทคาร์บอน

สิ่งที่สำคัญที่สุดของตัวรองรับที่ต้องมีอยู่คือ ความสามารถในการต้านทานสภาวะการรวมตัวของอนุภาคเนื่องจากความร้อน อุณหภูมิที่โครงผลึก (Lattice) เริ่มเกิดการเคลื่อนที่เรียกว่า อุณหภูมิแทมแมน (Tammann Temperature) ส่วนอุณหภูมิที่อะตอมที่ผิวเริ่มเคลื่อนที่เรียกว่า อุณหภูมิฮัตติค (Huttig Temperature) อุณหภูมิแทมแมนมีค่าประมาณ 0.5 เท่าของจุดหลอมเหลวของโลหะ ส่วนอุณหภูมิฮัตติคมีค่าประมาณ 0.3 ของจุดหลอมเหลวของโลหะ (อุณหภูมิจุดหลอมเหลวมีหน่วยเป็นองศาสัมบูรณ์)

ในตารางที่ 3.8 แสดงถึงจุดหลอมเหลวของตัวรองรับชนิดต่างๆ และยังบอกว่า ตัวรองรับเหล่านี้มีคุณสมบัติเป็น กรด เบส หรือกลาง ซึ่งสิ่งเหล่านี้เป็นปัจจัยหนึ่งในการเลือกชนิดของตัวรองรับ ส่วนตารางที่ 3.9 แสดงถึงตัวรองรับชนิดต่างๆ โดยแบ่งตามพื้นที่ผิวของตัวรองรับ

3.7 โพรโมเตอร์ (Promotor) (6)

โพรโมเตอร์เป็นสารที่เติมลงในตัวเร่งปฏิกิริยาด้วยปริมาณที่ค่อนข้างน้อย แต่ทว่าช่วยเพิ่มความว่องไวในเชิงปฏิกิริยา ทางเลือกของปฏิกิริยาและความคงตัวของตัวเร่งปฏิกิริยา

โพรโมเตอร์แบ่งออกเป็น 2 ชนิด คือ

1. เทกเทอรัล โพรโมเตอร์ (Textural Promotor)
2. สตรักเทอรัล โพรโมเตอร์ (Structural Promotor)

เทกเทอรัล โพรโมเตอร์

เทกเทอรัล โพรโมเตอร์ เป็นสารเฉื่อย ใส่เข้าไปในตัวเร่งปฏิกิริยาเพื่อเป็นตัวป้องกันการรวมตัวของผลึกขนาดเล็กของตัวเร่งปฏิกิริยา ไม่ให้รวมตัวเนื่องจากความร้อน

ตารางที่ 3.8 ตัวรองรับแบ่งตามคุณสมบัติที่เป็น เบส กรด กลาง ครึ่งกรดครึ่งเบส และ จุดหลอมเหลว ($^{\circ}\text{C}$) (28)

Bases	Amphoters	Neutral	Acids
MgO (2800)	Al ₂ O ₃ (2015)	MgAl ₂ O ₄ (2135)	SiO ₂ (1713)
CaO (1975)		CaAl ₂ O ₄ (1600)	SiO ₂ ·Al ₂ O ₃
ZnO (1975)	TiO ₂ (1825)	Ca ₃ Al ₂ O ₄ (d 1535)	Zeolites
MnO (1600)	ThO ₂ (3050)		Al phosphates
	Ce ₂ O ₃ (1692)		
	CeO ₂ (2600)	MgSiO ₂ (1910)	Carbon
	Cr ₂ O ₃ (2435)	Ca ₂ SiO ₄ (2130)	
		CaTiO ₃ (1975)	
		CaZnO ₃ (2550)	
		MgSiO ₃ (d 1557)	
		Ca ₂ SiO ₃ (1540)	
		Carbon	

d = decomposes

ตารางที่ 3.9 ตัวรองรับแบ่งตามพื้นที่ผิว (28)

Low surface area < 1 m ² g ⁻¹	essentially non-porous	ground glass Alundum (α-Al ₂ O ₃) silicon carbide
	porous	kieselguhr pumice
High surface area > 1 m ² g ⁻¹	essentially non-porous	natural silica-alumina carbon black titania zinc oxide
	porous	natural clays synthetic silica-aluminas alumina magnesia activated carbon silica asbestos

ลักษณะ เทกเทอร์อัล โพรโมเตอร์ ต้องมีขนาดเล็ก เมื่อเทียบกับผลึกขนาดเล็กของตัวเร่งปฏิกิริยา และสามารถกระจายไปทั่วตัวเร่งปฏิกิริยาได้ดี ไม่ทำปฏิกิริยาหรือ เกิดสารละลายของแข็งกับตัวเร่งปฏิกิริยา ต้องมีจุดหลอมเหลวสูง ตัวอย่างคือ ซิงค์โครไมท์ (Zinc Chromite) ในตัวเร่งปฏิกิริยาซิงค์ออกไซด์/โครเมียม (Zinc Oxide/Chromia Catalyst) ในปฏิกิริยาสังเคราะห์เมทานอล ซึ่งพอกกล่าวได้ว่า เทกเทอร์อัล โพรโมเตอร์ มีผลทางด้านกายภาพต่อตัวเร่งปฏิกิริยา

สตรักเทอร์อัล โพรโมเตอร์

สตรักเทอร์อัล โพรโมเตอร์ มีผลทางด้านเคมีของตัวเร่งปฏิกิริยา โดยเปลี่ยนองค์ประกอบทางเคมีของตัวเร่งปฏิกิริยา ลักษณะของสตรักเทอร์อัล โพรโมเตอร์ คือ

1. อัตราเร็วของปฏิกิริยาที่แท้จริงอาจเปลี่ยน
2. พลังงานกระตุ้นประสิทธิผล ของปฏิกิริยาอาจเปลี่ยน
3. อันดับของปฏิกิริยาอาจเปลี่ยน
4. ไอโซเทอร์มของการดูดซับอาจเปลี่ยน

ตัวอย่างคือ การเติมโซเดียมออกไซด์ โพตัสเซียมออกไซด์ แมกนีเซียมออกไซด์ ลงใน ตัวเร่งปฏิกิริยาดีเกิลที่ใช้ในปฏิกิริยาสตีร์ฟอร์มัน เพื่อเพิ่มอัตราเร็วของการกำจัดคาร์บอนมอนอกไซด์ของ คาร์บอนบนตัวเร่งปฏิกิริยา

3.8 ตัวเร่งปฏิกิริยาแบบโลหะเกาะบนตัวรองรับ (Supported Metal Catalyst)

ลักษณะของตัวเร่งปฏิกิริยาชนิดนี้คือ โลหะที่ทำหน้าที่เป็นตัวเร่งปฏิกิริยาเป็นผลึกขนาดเล็ก กระจายบนตัวรองรับ คุณสมบัติทางกายภาพของตัวเร่งปฏิกิริยามีผลมาจากตัวรองรับ

3.8.1 การกระจายของโลหะ (Metal Dispersion)

คำว่า การกระจายของโลหะ หมายถึง อัตราส่วนของจำนวนอะตอมที่ผิวของผลึกโลหะต่อจำนวนอะตอมทั้งหมดในผลึกโลหะนั้น โดยมากบอกเป็น % จากนิยามเห็นได้ว่า ถ้าขนาดผลึกเล็กเท่าไร % การกระจายของโลหะยิ่งสูงเท่านั้น ทว่าองเดียวกันตัวเร่งปฏิกิริยาที่ไม่ได้เกาะบนตัวรองรับ มี % การกระจายของโลหะต่ำมาก เช่น ขนาดของโลหะ 1 ไมโครเมตร % การกระจายของโลหะต่ำถึง 0.1 %

มีนิยามที่เกี่ยวข้องกับการกระจายของโลหะอยู่ 2 คำคือ

1. ดีมานดิง (Demanding) หมายถึงปฏิกิริยาที่ความว่องไวเชิงปฏิกิริยาเฉพาะจะแปรผันตาม % การกระจายของโลหะ

2. ปฏิกิริยาแพซิช (Facile Reaction) หมายถึงปฏิกิริยาที่ความว่องไวเชิงปฏิกิริยาเฉพาะ ไม่ขึ้นกับ % การกระจายของโลหะ

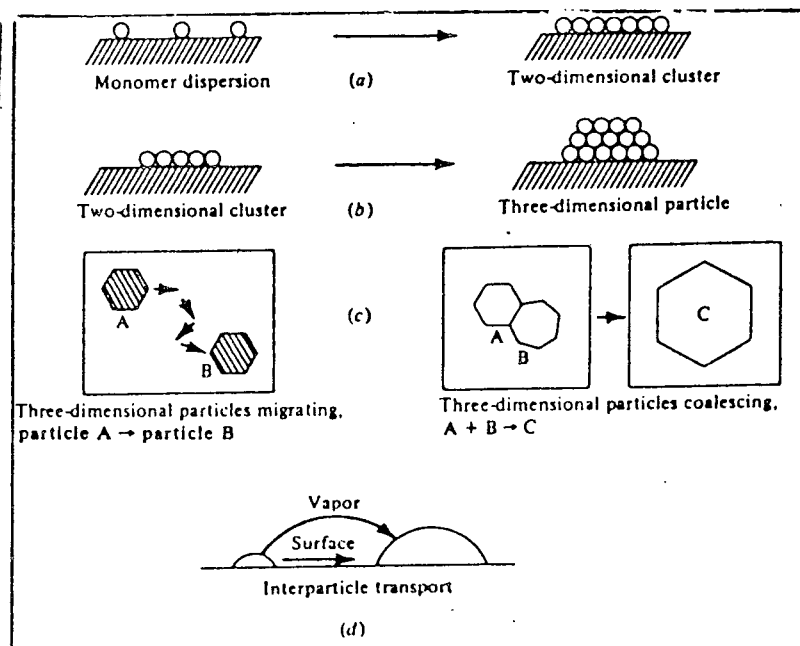
เห็นได้ว่า วิธีการเตรียมตัวเร่งปฏิกิริยา มีความสำคัญต่อดีมานดิงมากกว่าปฏิกิริยาแพซิช

3.8.2 การรวมตัวของผลึกโลหะเนื่องจากความร้อน

การรวมตัวกันของผลึกโลหะด้วยความร้อน เป็นปัญหาสำคัญมาก เกี่ยวกับการนำตัวเร่งปฏิกิริยาไปใช้งาน

เหตุผลที่ทำให้เกิดการรวมตัวกันของผลึกหรืออะตอมของโลหะ เนื่องจากความร้อน เพราะว่าความร้อนทำให้ผลึกหรืออะตอมของโลหะมีพลังงานมากขึ้น ทำให้ไม่อยู่ตัวถ้ายังคงรักษารูปเดิมอยู่ จำเป็นต้องมีการเปลี่ยนแปลงโครงสร้างใหม่ เพื่อลดพลังงานภายในลง การจัดตัวใหม่เพื่อเป็นผลึกที่ใหญ่ขึ้น เป็นวิธีการลดพลังงานภายในได้ดี ดังนั้นยิ่งให้ความร้อนมากเท่าไร การเกิดการรวมตัว เนื่องจากความร้อนยิ่งมากขึ้น

ลักษณะการเกิดการรวมตัวเนื่องจากความร้อนแสดงในรูปที่ 3.7



รูปที่ 3.7 แสดงลักษณะการเกิดการรวมตัวเนื่องจากความร้อน (6)

จากรูปที่ 3.7(a) แสดงว่าในครั้งแรก อะตอมของโลหะที่เกาะบนตัวรองรับอยู่แยกกัน นั่นคือ% การกระจายของโลหะเป็น 100 แต่เนื่องจากได้รับความร้อน อะตอมของโลหะจะวิ่ง เข้าหากัน เป็นชั้นของอะตอม (2 มิติ) เช่นเดียวกัน(b) เมื่อเพิ่มความร้อนเข้าไปอีก อะตอมจะเข้ารวมกันเป็นโครงสร้าง 3 มิติ และโครงสร้าง 3 มิติจะใหญ่ขึ้นเรื่อยๆ ซึ่งลักษณะของโครงสร้าง 3 มิติ % การกระจายของโลหะต้องไม่เกิน 100% เมื่อ% การกระจายของโลหะลดลง ถ้าเป็นดีมานดิง ความว่องไวของปฏิกิริยาจะลดลง

ปัจจัยที่มีผลต่อการรวมตัวเนื่องจากความร้อนคือ พลังงานบอนด์ระหว่างโลหะและโลหะ เมื่อเปรียบเทียบกับความแข็งแรงของบอนด์ระหว่างโลหะกับตัวรองรับ ถ้าความแข็งแรงของบอนด์ระหว่าง โลหะกับตัวรองรับสูง การย้ายที่ของโลหะย่อมต่ำ (Migration of Metal) นั่นคือโอกาสการเกิดการรวมตัวจะลดลง แต่ถ้าบอนด์ระหว่างโลหะและตัวรองรับต่ำ การเกิดการรวมตัวจะเกิดได้ดีขึ้น

การเคลื่อนย้ายหรือชนกันของผลึกมีขีดจำกัดอยู่ที่ขนาดของผลึกค่าหนึ่ง ถ้ามากกว่านี้จะไม่มีการเคลื่อนย้ายหรือการชนกันของผลึก เพียงแต่มีเฉพาะการเคลื่อนย้ายระหว่างอนุภาค (Inter particle Transport) ซึ่งหมายถึงเกิดการแพร่กระจายบนพื้นผิวของอะตอมหรือโมเลกุล

การทำสหสัมพันธ์ (Correlation) ของข้อมูลทางการรวมตัว เนื่องจากความร้อนสามารถแสดงด้วย สมการอัตราเร็วแบบยกกำลังคือ

$$-\frac{dD_{is}}{dt} = kD_{is}^n$$

เมื่อ D_{is} = %การกระจายของโลหะบนตัวรองรับ

ข้อมูลที่อุณหภูมิต่างๆ สามารถหาพลังงานกระตุ้นที่ปรากฏ แต่ทั้งนี้ทั้งนั้นก็ขึ้นอยู่กับค่าในสหสัมพันธ์ ค่า n บ่งว่า ผลึกนั้น เข้าใกล้ขนาดที่คงตัวได้เร็วแค่ไหน ถ้า n สูงโอกาสที่เข้าสู่สภาพคงตัวเร็วขึ้น

3.9 ระนาบของผลึก (Crystal Planes) (29,30)

เป็นสิ่งสำคัญในการศึกษาศาสตร์ของพื้นที่ผิว การบอกระนาบผลึกบอกเป็นตัวเลขจำนวนเต็ม 3 ตัวเลขในวงเล็บ เรียกว่าดัชนีมิลเลอร์ (Miller Indices) เช่น (100), (110), (111)

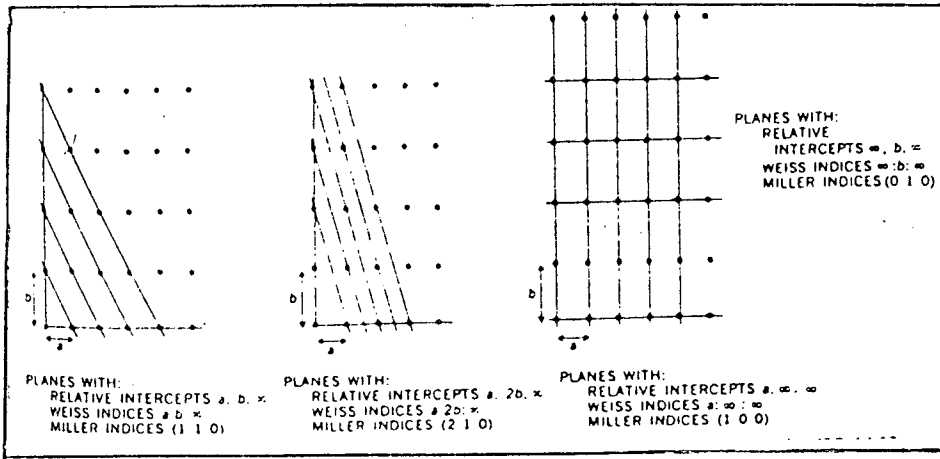
การที่เข้าใจดัชนีมีลเลข ค่อนข้างลำบาก วิธีการบอกดัชนีมีลเลขคือ ตั้งแกนของผลึกที่ต้องการทราบระนาบ ต้องการบอกระนาบไหน หมายถึงระนาบนั้นสัมพันธ์กับแกนผลึกอย่างไร ระนาบที่ตัดแกนผลึกบอกเป็นตัวเลขที่เรียกว่าดัชนีเวส (Weiss Indices) ส่วนกลับของดัชนีเวส แต่ต้องเป็นตัวเลขจำนวนเต็ม คือดัชนีมีลเลข ดังแสดงในรูปที่ 3.8

จากรูปที่ 3.8 ดูตัวอย่างที่ทราบระนาบ (100) เป็นดัชนีมีลเลขซึ่งเป็นส่วนกลับของดัชนีเวส (หน้าของระนาบที่ตัดแกนผลึกคือ a, ∞, ∞ , ซึ่งระนาบ (100) หมายถึงระนาบตัดแกน X หนึ่งหน่วย และขนานแกน Y, Z ส่วนระนาบ (111) หมายถึงตัดแกนทั้ง 3 ของผลึกหนึ่งหน่วย

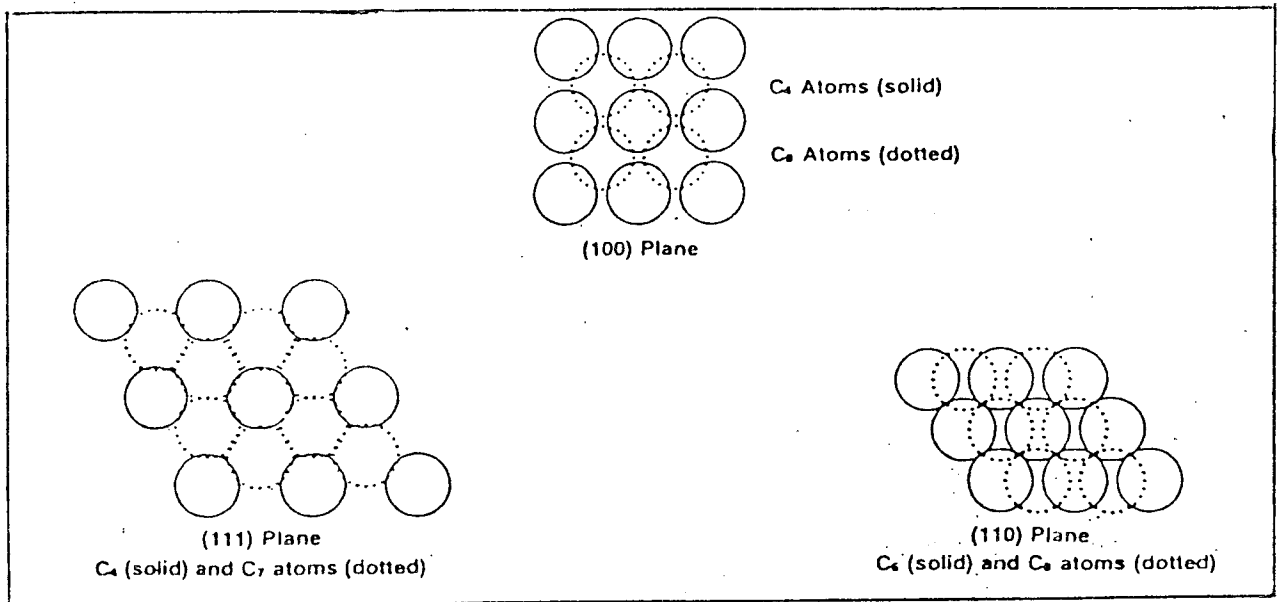
การที่สารเข้าทำปฏิกิริยามาเกาะบนตัวเร่งปฏิกิริยาเดียวกัน แต่ต่างระนาบกัน ย่อมมีความว่องไวในเชิงปฏิกิริยาต่างกัน เพราะแต่ละระนาบของผลึกยอมให้สารที่เข้าทำปฏิกิริยามาเกาะง่ายยากต่างกัน ตัวอย่างเช่น ในรูปที่ 3.9 เป็นระนาบ (100), (110), (111) ของเหล็ก เพื่อให้สารที่เข้าทำปฏิกิริยามาเกาะบนตัวเร่งปฏิกิริยาในปฏิกิริยาการสังเคราะห์แอมโมเนีย

ปฏิกิริยาเกิดบน 3 ระนาบ (100), (110), (111) จากการศึกษา การปฏิบัติการที่ความดัน 20 บรรยากาศ ระนาบที่ให้ความว่องไวสูงสุดคือ ระนาบ (111) ซึ่งเร็วกว่าระนาบ (110) อย่างน้อย 420 เท่า และระนาบ (100) กว่า 326 เท่า

นับว่าการศึกษาเกี่ยวข้องกับตัวเร่งปฏิกิริยามีวิวัฒนาการ เป็นศาสตร์ที่ค่อนข้างใหม่และน่าสนใจมาก



รูปที่ 3.8 แสดงถึงวิธีการหาดัชนีมิลเลอร์ (30)



รูปที่ 3.9 ระนาบ (100), (110), (111) ซึ่งสมมติว่าเป็นระนาบของผลึกโลหะเหล็กของปฏิกิริยา
การสังเคราะห์อะมอไรเนีย (28)